



Article

Étude sur les caractéristiques du mouvement des fumées d'incendie et leurs Impact sur l'évacuation des personnes dans les tunnels routiers courbes

Yuang Cui et Zhiqiang Liu *

École de génie civil, Université Jiaotong de Lanzhou, Lanzhou 730070, Chine ; 11220166@stu.lzjtu.edu.cn * Correspondance : lzqiang@mail.lzjtu.cn

Application en vedette : Application en vedette : Fire Dynamics Simulator Pyrosim.

Résumé: Dans les recherches existantes sur les incendies de tunnels, les chercheurs se concentrent principalement sur les tunnels droits, négligeant l'impact des parois latérales courbes dans les tunnels courbes. Sur la base de la théorie de la diffusion de la fumée, une série de simulations numériques CFD a été réalisée à l'aide du simulateur de dynamique du feu pour étudier les caractéristiques de la répartition de la fumée dans un tunnel routier courbe. Les résultats ont indiqué que des caractéristiques distinctes de répartition de la fumée ont été observées lorsqu'un incendie s'est déclaré dans un tunnel courbe. par rapport à ceux observés dans les tunnels droits, avec des différences significatives particulièrement évidentes pour le rayon de courbure du tunnel inférieur à 1000 m. En comparant les caractéristiques de répartition de la fumée provenant de

rayon de courbure du tunnel inférieur à 1000 m. En comparant les caractéristiques de répartition de la fumée provenant de différents emplacements de sources d'incendie, les emplacements de sources d'incendie les plus défavorables dans un tunnel courbe ont été déterminés. La fumée d'incendie à haute température se limite entre les parois intérieures et extérieures du tunnel, conduisant à la formation de multiples zones à haute température à proximité de la source d'incendie, plutôt que de se diffuser directement vers la sortie dans un tunnel linéaire. De plus, sur la base d'une analyse de la température, de la visibilité et de la concentration de CO à des hauteurs caractéristiques, des emplacements appropriés pour les passages pour piétons à l'intérieur du tunnel ont été déduits et une stratégie d'évacuation des personnes se trouvant dans la zone d'incendie principale a été proposée. Les résultats peuvent fournir une référence pour les stratégies d'évacuation personnelle dans les scénarios d'incendie de tunnels routiers courbes et pour la conception d'une galerie pour les personnes passant dans ces tunnels.



Référence: Cui, Y.; Liu, Z. Étude sur le feu Caractéristiques du mouvement de la fumée et Leur impact sur l'évacuation des personnes dans les tunnels routiers courbes. Appl. Sci. 2024, 14, 6339. https://doi.org/10.3390/app14146339

Rédacteur académique : Cheng-Yu Ku

Reçu: 22 juin 2024 Révisé: 15 juillet 2024 Accepté: 18 juillet 2024 Publié: 20 juillet 2024



Copyright: © 2024 par les auteurs.
Licencié MDPI, Bâle, Suisse.
Cet article est un article en libre accès distribué selon les termes et conditions des Creative Commons
Licence d'attribution (CC BY) (https://creativecommons.org/licenses/by/4.0/).

Mots-clés : tunnel routier courbe ; feu; distribution de fumée; évacuation personnelle

1. Introduction

Avec les progrès de la technologie d'excavation des tunnels, la proportion de tunnels routiers courbes au sein des réseaux routiers a progressivement augmenté. La structure unique d'un tunnel incurvé introduit une plus grande complexité dans le flux de fumée et les variations de température lors d'incendies, en fonction du rayon de virage du tunnel [1-3]. Des recherches antérieures ont délimité les schémas de déplacement de la fumée d'incendie dans des tunnels linéaires et fourni des formules pour calculer la longueur de la couche arrière de fumée, la vitesse critique du vent et la température maximale. Cependant, la diffusion de la fumée est soumise à divers facteurs d'influence tels que l'altitude, la pente du tunnel et la courbure du tunnel. La courbure du tunnel constitue le point central de cette enquête.

Des recherches antérieures ont démontré que les tunnels courbes et les tunnels droits présentent des caractéristiques distinctes. Kashef et coll. a étudié la stratégie de contrôle des fumées dans les zones droites et courbes d'un tunnel à travers des expériences et des simulations numériques. Leurs résultats ont montré que lorsque la source d'incendie se trouvait dans la zone courbe, la température à proximité de la source d'incendie était nettement inférieure à celle dans la zone droite et la longueur de la couche arrière de fumée augmentait [4].

Parallèlement, des formules de correction ont été proposées pour les indicateurs clés des incendies dans les tunnels courbes, basées sur celles des incendies dans les tunnels droits. Wang Feng a construit des modèles numériques sur les caractéristiques du mouvement de la fumée d'incendie d'un tunnel courbe d'un rayon de

Appl. Sci. 2024, 14, 6339 2 sur 18

600 m et a proposé une méthode de calcul de la résistance le long du tunnel courbe pour clarifier la loi de l'influence du tunnel courbe sur l'écoulement du fluide [5-7]. Caliendo et coll. ont utilisé la simulation numérique CFD pour étudier l'influence de la ventilation longitudinale sur la couche arrière de fumée dans un tunnel courbe à deux voies et ont prédit l'emplacement de la température maximale du plafond [8]. Wu et coll. ont étudié les caractéristiques de transport de la fumée d'incendie du tunnel routier courbe de Qianhaizi pour obtenir la vitesse critique du vent du tunnel [9]. Wang a effectué des simulations numériques d'un incendie dans un tunnel routier courbe à l'aide de Fluent pour comparer la vitesse critique du vent aux emplacements convexes et concaves de la source de l'incendie. Ils ont également analysé la longueur de la couche arrière de fumée et ont conclu que la vitesse critique à l'emplacement convexe était plus grande [10]. Zhong et coll. ont étudié la loi de propagation de la fumée lors d'incendies dans des tunnels inclinés et courbes par des simulations numériques et des expériences et ont découvert que l'endroit présentant la plus grande différence de taux de transfert de chaleur était le plafond du tunnel dans différentes conditions de travail [11]. Zhang et coll. a combiné la simulation numérique avec l'analyse théorique pour déterminer un modèle d'incendie adapté aux tunnels courbes et a étudié la longueur de la couche de fumée et la vitesse critique de ventilation des tunnels courbes [12]. Pan et coll. ont étudié l'effet d'une paroi latérale incurvée sur la forme du feu et la température maximale sous l' axe du plafond et ont établi des formules pour prédire la température maximale sous l'axe du plafond [13]. Lu a étudié la distribution de température dans les tunnels courbes grâce à une méthode de simulation numérique et a proposé un nouveau modèle de décroissance exponentielle pour les prévisions longitudinales de température dans diverses conditions de courbure du tunnel [14].

Xu et coll. mené des expériences et des simulations numériques pour analyser la vitesse critique d'un tunnel courbe dans différents scénarios d'incendie [15].

Néanmoins, il reste peu de recherches examinant directement l'impact d'un incendie dans des tunnels courbes sur l'évacuation des personnes. Muhasilovic et coll. ont étudié l'influence du rayon de courbure (>2500 m) sur le rayonnement thermique et la répartition des fumées dans un tunnel par simulation numérique [16]. Lu a établi un modèle numérique par FDS pour comparer la diffusion de la fumée et la répartition de la température d'un incendie de tunnel dans la section droite et dans la section courbe. Ils ont constaté que le reflux des fumées était plus important et que la température augmentait de manière plus significative lorsque l'incendie survenait dans la section courbe [17].

Zhao et coll. ont utilisé FDS pour effectuer une simulation numérique d'un incendie de tunnel avec un petit rayon de courbure et ont découvert que le rayon de courbure entraînerait un gradient de température important à proximité de la source de l'incendie [18]. Li a simulé le flux de fumée d'incendie dans un tunnel à courbure unique par Fluent pour obtenir le changement de concentration de CO dans différents environnements de courbure et de ventilation [19]. Liu et coll. ont évalué des facteurs tels que la courbure du tunnel, le temps de fonctionnement de la ventilation longitudinale et la vitesse de ventilation afin d'étudier l' influence des paramètres de ventilation longitudinale sur l'effet extincteur du brouillard d'eau dans un tunnel courbe [20].

De plus, les caractéristiques de diffusion de la fumée à la hauteur caractéristique de l' œil humain et la variation de facteurs tels que la température, la visibilité et la concentration de CO dans les incendies de tunnels courbes qui affectent l'évacuation des personnes n'ont pas été prises en compte. Même les codes existants manquent de directives spécifiques pour la lutte contre les incendies dans les tunnels courbes [21,22]. Cet article vérifie ainsi les caractéristiques de diffusion de fumée présentées par des tunnels routiers courbes avec des courbures variables et évalue l'impact sur l'évacuation des personnes. Les stratégies d'évacuation recommandées et la conception d'une galerie pour les personnes sont également fournies. L'accent est mis sur le modèle distinct de diffusion de la fumée et sur les stratégies permettant de gérer son impact sur les caractéristiques de diffusion de la fumée et sur les stratégies permettant de gérer son impact sur les caractéristiques de diffusion de la fumée et sur les stratégies permettant de gérer son impact sur les caractéristiques de la fumée et sur les stratégies permettant de gérer son impact sur les caractéristiques de la fumée et sur les stratégies permettant de gérer son impact sur les caractéristiques de la fumée et sur les stratégies permettant de gérer son impact sur les caractéristiques de la fumée et sur les stratégies permettant de gérer son impact sur les caractéristiques de la fumée et sur les stratégies permettant de gérer son impact sur les caractéristiques de la fumée et sur les stratégies permettant de gérer son impact sur les caractéristiques de la fumée et sur les stratégies permettant de gérer son impact sur les caractéristiques de la fumée et sur les caractéristiques de l

2. Matériels et méthodes

2.1. Simulateur de dynamique du feu

Le Fire Dynamics Simulator (FDS) [23,24] est un code développé par le National Institute of Standards and Technology des États-Unis qui a été largement adopté par de nombreux chercheurs pour étudier les champs de température et de vitesse dans les incendies suite à la maturation de la dynamique des fluides computationnelle (CFD). et le développement de la capacité de calcul informatique [25]. La validité de ce code a été largement vérifiée par de nombreux travaux de recherche sur les incendies. Le FDS est conçu pour la simulation aux grands tourbillons (LES) d'écoulements à faible vitesse et thermiques, et

dynamique des fluides computationnelle (CFD) et développement de la capacité de calcul informatique [25]. La validité de ce code a été largement vérifiée par de nombreux travaux de recherche sur les incendies.

Le FDS est concu pour la simulation aux grands tourbillons (LES) des écoulements à faible vitesse et thermiques, et la nouvelle version (Version 6) offre de nombreuses avancées en hydrodynamique, turbu- la nouvelle version módeneison 6) enfire descriptivas que navaporres canalmes o que for provision des los des participas en des schémas Letentonois igno et stront in the strong let the set to set the letter of the letter o et dans cette étude. Pour plus de détails sur le FDS, voir McGrattan et al. [26]. Le saint et des incendles dans les funtiels a été vérifiée. La [27,28]. études [27,28]

2.2. Analyse des scénarios d'incendie

2.2. Analyse des scénarios d'incendie
2.2. Analyse des scénarios d'incendie
Comme le montre la figure 1, un modèle de tunnel à grande échelle avec une longueur d'axe de 1 000 m est
Comme le montre la figure 1, un modèle de tunnel à grande échelle avec une longueur d'axe de 1 000 m est
établies dans cette étude. La section du tunnel mesure 10,75 m de large et 7,3 m de haut. Les matériaux établis
dans cette étude. La section du tunnel mesure 10,75 m de large et 7,3 m de haut. Les matériaux établis
dus cette étude. La section du tunnel mesure 10,75 m de large et 7,3 m de haut. Les matériaux
du sol, des parois latérales et du plafond sont définis comme « béton », qui est un matériau couramment utilisé.
Le sol, des parois latérales et du plafond sont définis comme « béton », qui est un matériau couramment utilisé
pour les tunnels routiers. L'entrée gauche du tunnel est conque comme une bouche d'aération pour les tunnels
routiers. Le portail gauche du tunnel est configuré comme un évent « d'alimentation » en air pour fournir
ventilation longitudinale et l'autre est réglée sur « ouverte ». L'un des combus-ventilations longitudinales « chimie
Simple » et l'autre est réglé sur « ouvert » La combustion « chimie simple »
et l'autre est réglé sur « ouvert » La combustion « chimie simple »
Ce modèle utilise du carburant N-Heptane [29]. Base sur l'échelle de feu pour différents types et numéros, le modèle utilise du carburant N-heptane [29]. Base sur l'échelle de feu pour différents types et nombres de véhicules publiés par l'AIPCR [30], l'échelle d'incendie pour les incendies de camions complets (30 MW) est choisie comme suit :
sen comme HRR en tenant compte du pire des cas. Le foyer d'incendie mesure 2.6 m de hauteur, HRR en sen comme HRR en tenant compte du pire des cas. Le foyer d'incendie mesure 2,6 m de hauteur, HRR en tenant compte du pire des cas. La source d'incendie mesure 2,6 m de hauteur, ce qui ce qui correspond à la hauteur d'un camion normal. La pression ambiante a été fixée à 101,325 kPa et à la hauteur d'un camion normal. La pression ambiante a été fixée à 101,325 kPa et la pression ambiante la temperature ambiante à ete fixée à 20 °C. La gravité est considérée comme étant de 9,81 m/s2. La qualité de la qualité du carburant a été ignorée sur la base des méthodes des études précédentes, et le carburant a été ignoré sur la base des méthodes des études precédentes, et le temps de simulation le le lemps de simulation du rayon de courbure, du tunnel a été fixé à 450 s. La détermination du rayon de courbure du tunnel a été fixée à 450 s. La détermination du rayon de courbure pour le modèle de tunnel s'est appuyée

Le modèle reposait à la fois sur les données de tunnel existantes et sur le respect des rayons de courbure minimaux sur les données de tunnel existantes et sur le respect des rayons de courbure minimaux exigés par mandaté par les codes applicables [21,22] correspondant à des vitesses de conception spécifiques. Dans les codes supplémentaires applicables [21,22] correspondant à des vitesses de conception spécifiques. De plus, en ligne droite tion dance up turnel desit∞ le rayon de courbure est ∞. tunnel, le

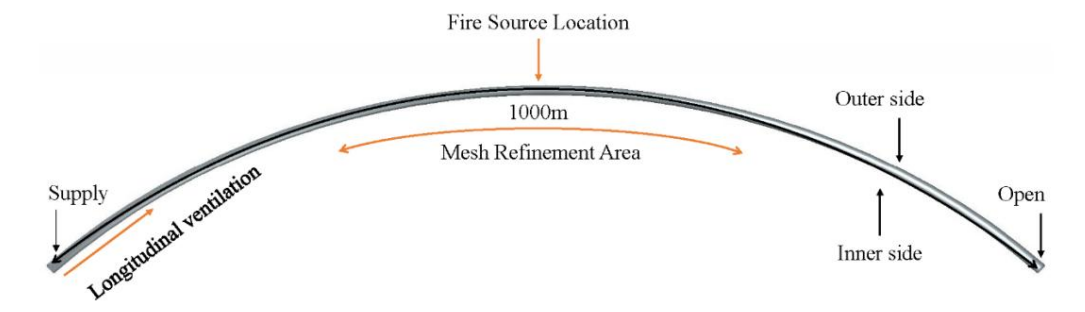


Figure d'insendicidas aunituanel.

2.2. Vit Vite SAR Gritique

surgerial de se contra de la comparación de la contractiva del la contractiva de la contractiva del la contractiva de la contractiva de la contractiva del la contractiva de la contractiva de la contractiva del la contra Darénatise clinared in natione statistics el constant in the c diffusion des funées d'inscretje a General van le vent nature le sons le sit uprese de se ste de la fré de aveculo afficione et uno siviesso di vanta ricolisament constamino atti internite su la sivieti del companio del ieméreanires mises en œuvre au sein du itunnel n'ont pas été prises en compte dans ce calcul:

chique les recherches existentes estallantes i pedulatros que i enorale galcules la uvitas en canada la companione de la comp [29]itique [22].

QQHand Q/paCpTa $\sqrt{g}H5/2 \leq \Omega_3 15(H/W) - 1/4$,

$$-$$
 1/3
u/gH = 0.81 = 0.81 Q/paCpTa $\sqrt{\text{gH5/2}}$ (H/W) 1/12e - Lb/18,5H, (1a)a)

Quand Q/paCpTa $\sqrt{g}H5/2$ $\stackrel{0}{\sim}$ 15,15(H/W) - 1/4

$$= 0.43$$
 . (1b)
/u/ gH = 0.43e -Lb/18,5H (1b)

où pa est la densité ambiante ; Cp est la capacité thermique ; g est l'accélération gravitationnelle, H est la hauteur du tunnel ; Lb est la longueur de la couche arrière, où Lb = 0 définit la vitesse critique ; Ta est la température ambiante du gaz ; u est la vitesse longitudinale ; et W est la largeur du tunnel. Appl. Sci. 2024, 14, 6339 4 sur 18

Comme le montre l'équation (1), la densité ambiante, la température ambiante du gaz et la capacité thermique change à mesure que l'altitude augmente. En conséquence, la vitesse critique maximale de 3,56 m/s est choisie. pour concevoir les simulations.

Sur la base des données existantes sur la période d'exploitation du tunnel [31,32], la vitesse de contrôle du vent de ventilation longitudinale du tunnel varie de 2,0 m/s (la ventilation longitudinale naturelle maximale vitesse de ventilation) à 8,0 m/s (la vitesse de ventilation longitudinale de contrôle maximale).

Lorsqu'un incendie se déclare, la vitesse du vent dans le tunnel doit être légèrement supérieure au vent critique. rapidité. Selon le code national, le rayon de courbure des simulations était choisi comme rayon de braquage minimum à différentes vitesses [33].

Les études existantes [6,7,15,34,35] montrent que la courbure d'un tunnel affectera la valeur critique vitesse d'un incendie dans un tunnel. Par conséquent, 4 m/s a été choisi comme vitesse critique dans cette papier. Les résultats de simulation ultérieurs montrent également que la courbure du tunnel a un effet sur la vitesse critique.

Un groupe de vitesse générale (la vitesse longitudinale de ventilation est de 2 m/s; tests 1, 3, 5, 7, 9, 11, 13, 15 et 17) et un groupe de vitesses critiques (la vitesse de ventilation longitudinale est de 4 m/s; les tests 2, 4, 6, 8, 10, 12, 14, 16 et 18) ont été conçus pour étudier le mouvement de la fumée d'incendie caractéristiques sous vitesse de ventilation longitudinale naturelle et contrôle longitudinal vitesse de ventilation dans le scénario d'incendie. Sauf ventilation longitudinale, aucune autre mécanique des mesures de ventilation ont été prises en compte dans la simulation. Tous les tests sont affichés

Tableau 1. Résumé de tous les tests.

Non.	Rayon de courbure, m Vitesse de ventilation longitudinale, m/s	
1, 2	∞	2, 4
3, 4	250	2, 4
5, 6	400	2, 4
7, 8	600	2, 4
9, 10	800	2, 4
11, 12	1000	2, 4
13, 14	1200	2, 4
15, 16	1500	2, 4
17, 18	2000	2, 4

2.4. Taille de la grille

Les études existantes ont montré que la taille de la grille a une grande influence sur la précision de résultats de simulation, et la taille des mailles a une relation étroite avec les caractéristiques du feu diamètre D . Lorsque le diamètre caractéristique du feu D est compris entre 4 et 16 fois le diamètre de la grille taille, les résultats de la simulation peuvent refléter la situation réelle avec plus de précision [24] Le calcul La méthode de D est la suivante :

$$D * = Q/\rho \propto cpT \propto \sqrt{g} - \frac{2/5}{\gamma}, \qquad (2)$$

où D est le diamètre caractéristique du feu, Q est le HRR, p∞ est la densité de l'air, cp est le capacité thermique spécifique de l'air, T∞ est la température ambiante et g est l'accélération de la gravité. Comme le montre l'équation (1), le diamètre caractéristique du feu augmentera lorsque la température ambiante la pression diminue

En conséquence, la taille de grille appropriée pour l'incendie actuel de 30 MW variait entre 0,233 m et 0,94 m. Les résultats de simulation pour le cas d'un rayon de courbure de 800 m et avec

une ventilation de 2 m/s (identique au test 9) à 150 s a été comparée en utilisant cinq grilles différentes tailles de 0,25 m, 0,3 m, 0,4 m, 0,5 m, 0,6 m et 0,9 m, comme le montre la figure 2. On voit que à mesure que la taille de la grille diminue, l'écart de température devient insignifiant. À l'exception de les tailles de ceinture de 0,6 m et 0,9 m, les températures verticales près du plafond du tunnel de les autres tailles de grille étaient similaires. Lorsque la taille de la grille ne dépasse pas 0,5 m, la précision de les simulations avec des grilles plus petites ne se sont pas améliorées de manière significative mais ont nécessité plus

à mesure que la taille de la grille diminue, l'écart de température devient insignifiant. À l'exception des tailles de grille de Otémpo étail de la grille de la grille diminue, l'écart de température devient insignifiant. À l'exception des tailles de grille de grill

dépassale pas 0,5 m, la précision des tailles de grille de 0,6 m et 0,9 m, les températures verticales près du plafond du 5 sur 18 leta santalgioulla un tres tailles publications de company de la co

temp testes inmulations are a filtest égalles apposs pérjues nhactain é librategui pas dien a hamient ésté, al forma sur la marchant de la ma

davante que les uchat un seté poude nientula timo xinaité de sé accent da limiter util de tapite tapite la finalement été déterminée à 0,5 m. Etant donné que le devoulement à ce temps de simulation. Par conséquent, la taille de la grille a finalement été déterminée à 0,5 m. Etant donné que le dévoulement à proximité de la source d'incendie ététéraffités à 0,25 m, et les taille de la grille dans la zone à l'intérieur des champs d'écoulement à proximité de la source d'incendie était plus complexe, la taille de la grille dans la zone à l'intérieur d'un le 200 m entourant la source d'incendie a été affiné à 0,25 m, et les tailles de grille dans le rayon de 200 m entourant la source d'incendie ont été affinées à 0,25 m, et les tailles de grille dans le rayon de 200 m entourant la source d'incendie ont été affinées à 0,25 m. les zones de repos ont été fixées à 0,5 m.

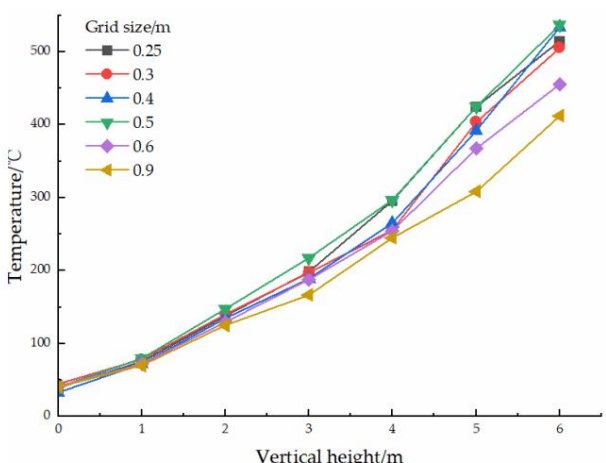


Figure 2. Répartition verticale de la température à 10 m en aval du foyer d'incendie sous différentes tailles de grille pour un Friguré 2º Reputation de la température à 10 m en aval du foyer d'incendie sous différentes tailles de grille pour un Friguré 2º Reputation de la fiabilité de la simulation numérique 2.5.

Vérification de la fiabilité de la simulation numérique 2.5.

Vérification de la fabilité de la simulation mérique neuver les comparer avec les résultats expérimentaux. Pour Trois expérimente résident de simulation montre le les comparer avec les résultats expérimentaux. Pour trois expérimentais de la simulation mantier de la simulation d

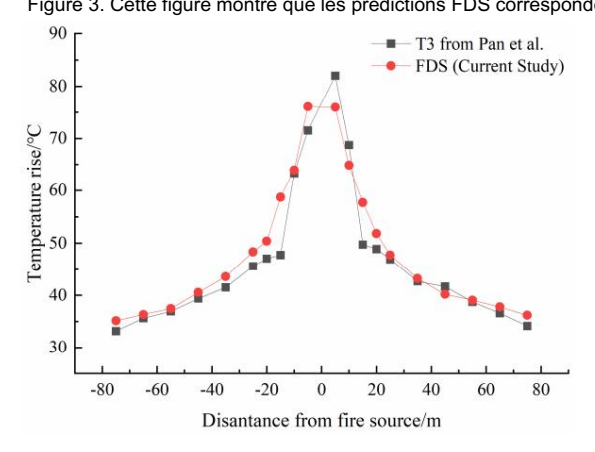


Figure 3. Comparisisone de l'élévation de température dans T6 issue de l'expérience de Pan [36] et des résultats de simulation de ce travail.

Les résultats expérimentaux pour la distribution longitudinale de la température maximale l'augmentation de la fumée d'incendie dans un tunnel à 120 s de [36] sont comparées aux résultats numériques, comme montré dans la figure 3. À chaque point de données, les résultats de simulation de FDS étaient globalement bons accord avec les valeurs expérimentales, généralement avec un écart de 5 %. Cependant, une erreur Une marge de 8 % a été observée à une distance de 5 m du foyer d'incendie. Ces écarts devenir négligeable loin de la source d'incendie en raison du transfert complexe de turbulence et de chaleur phénomènes qui se produisent à proximité de la source d'incendie. Ces différences sont principalement dues au vent

L'augmentation de la température de la fumée d'incendie dans un tunnel à 120 s à partir de [36] est comparée aux résultats numériques, comme le montre la figure 3. À chaque point de données, les résultats de simulation de FDS étaient globalement en bon accord avec les valeurs expérimentales, généralement dans les limites. un écart de 5%. Cependant, une marge d'erreur de 8 % a été observée à une distance de 5 m du foyer d'incendie.

Ces écarts deviennent négligeables loin de la source d'incendie en raison des phénomènes complexes de turbulence et de transfert de chaleur qui se produisent à proximité de la source d'incendie. Ces différences sont

principalement dues au fait que la vitesse du vent dans le modèle FDS a été fixée à 0, alors que la vitesse de varigitien continue dans le modèle FDS a été fixée à 0, alors que la vitesse de varigitien continue dans le modèle. Dans été fixée à 0 es le l'expérience de l'

2.6. Détermination de l'emplacement de la source d'incendie la plus dangereuse 2.6. Détermination de l'emplacement de la source d'incendie la plus dangereuse

Dans un seul tunnel pour circulation sous-tendue, ignorant la bande de stationnement urgent, la fumée Dans un seul tunnel pour circulation sous-tendue, ignorant la bande de stationnement urgent, la fumée la distribution causée par un véhicule source d'incendie situé dans la voie intérieure ou extérieure sera la distribution causée par un véhicule source d'incendie situé dans la voie intérieure ou extérieure présentent des variations. Un modèle avec un rayon de courbure de 400 m et une vitesse du vent de ventilation présentent des variations. Un modèle avec un rayon de courbure de 400 m et une vitesse du vent de ventilation de 4 m/s a été établie pour vérification. Lorsque la source d'incendie se trouve dans la voie extérieure ou que la vitesse de 4 m/s a été établie pour vérification. Lorsque la source d'incendie se trouve dans la voie extérieure ou dans voie intérieure, la répartition de la température sur le plafond, le mur intérieur, le mur extérieur et la voie intérieure, la répartition de la température sur le plafond, le mur intérieur, le mur extérieur et la voie intérieure, la ligne médiane à la hauteur caractéristique de 2 m du tunnel à 300 s est représentée sur la figure 4. l'4 Quel que soit l'a plate de la la nauteur caractéristique de 2 m du tunnel à 300 s est représentée sur la figure 4. l'4 Quel que soit l'emplacement du foyer d'incendie, la répartition de la température dans le tunnel Quel que soit l'emplacement du foyer d'incendie, la répartition de la température dans le tunnel Quel que soit l'este condrent. Cependant lorsque la source de feu est perfect est intérieur du plafond, cela du condre du troyer d'incendie source de feu est perfect l'est intérieur du plafond, cela du condre du troyer d'incendie source de feu est perfect l'est est intérieur du plafond, cela du condre du troyer d'incendie se tendre de 2 de seu set perfect l'est est intérieur d'incendie sur l'est de coté intérieur de la feu l'est de l

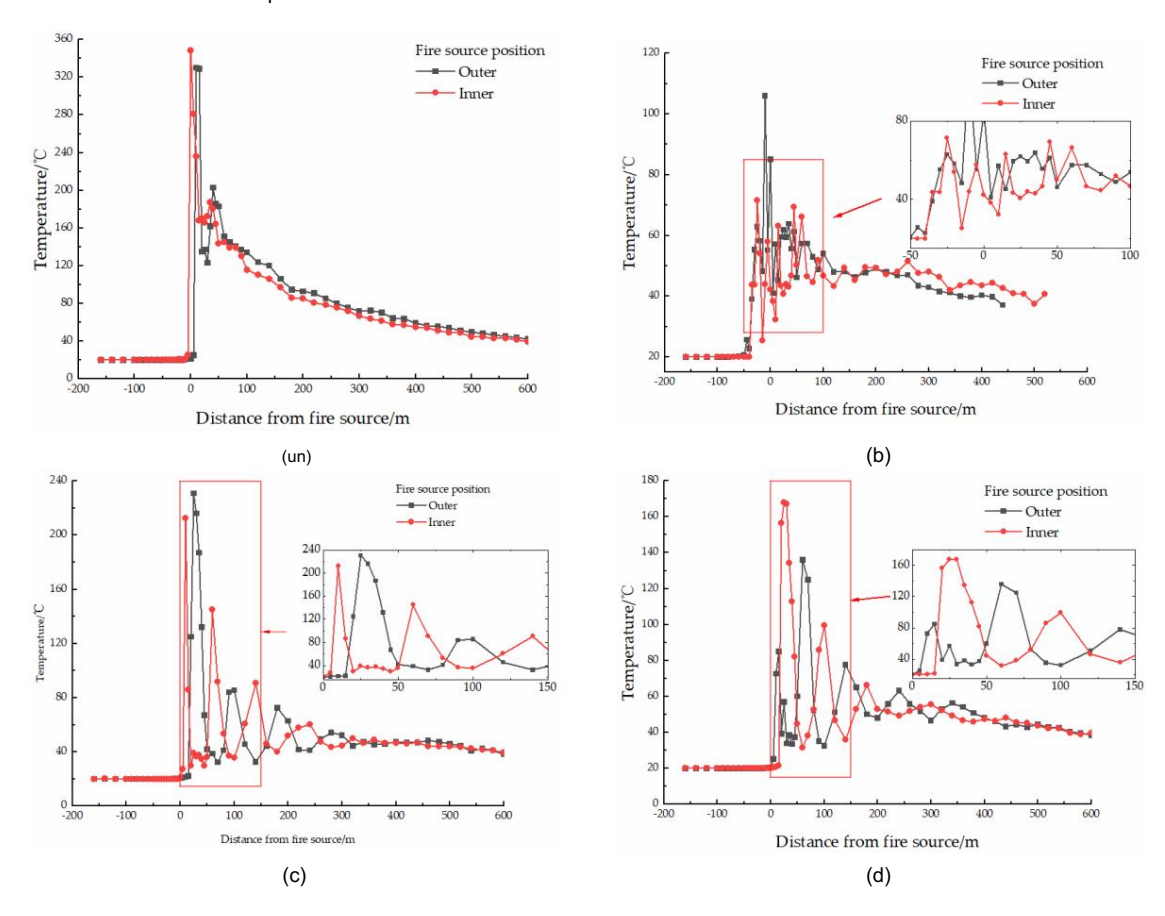


Figure 4. Comparaison de la température du plafond et de la hauteur caractéristique de différentes sources d'incendie postes. (a) Température au plafond du tunnel ; (b) Température de la ligne médiane à 2 m de hauteur ;

(c) Température du côté intérieur à 2 m de hauteur ; (d) Température du côté extérieur à 2 m de hauteur.

3. Résultats

3.1. Norme de sécurité

Afin d'étudier les caractéristiques de distribution de la fumée d'incendie et leur impact sur l'évacuation des personnes, cette étude se concentre sur la propagation unidimensionnelle des fumées au niveau hauteur caractéristique des yeux humains. La norme de sécurité pour la température des fumées au

Appl. Sci. 2024, 14, 6339 7 sur 18

la hauteur caractéristique a été fixée à 60 °C, conformément aux codes nationaux [37]. De même, un une visibilité de 10 m et une concentration de CO de 400 ppm ont été fixées comme norme de visibilité et la concentration en CO. La hauteur caractéristique a été définie à 2 m dans cette étude.

3.2. Comparaison de la répartition de la fumée sur différents côtés du tunnel

Pour analyser plus en détail les caractéristiques de la répartition des fumées dans le tunnel, le les simulations ont été classées en deux groupes comme suit : Groupe A et Groupe B. Groupe A comprenait quatre simulations différentes avec des rayons de courbure de 250 m, 400 m, 600 m et 800 m, alors que le groupe B était constitué de quatre simulations avec des rayons de courbure de 1 000 m, 1 200 m, 1 500 m et 2 000 m. Le groupe A et le groupe B ont été comparés à des tunnels droits pour évaluer l'impact de la courbure du tunnel. Les caractéristiques de distribution unidimensionnelles de la fumée d'incendie à la hauteur caractéristique à 360 s sont analysées dans cet article.

3.2.1. Température

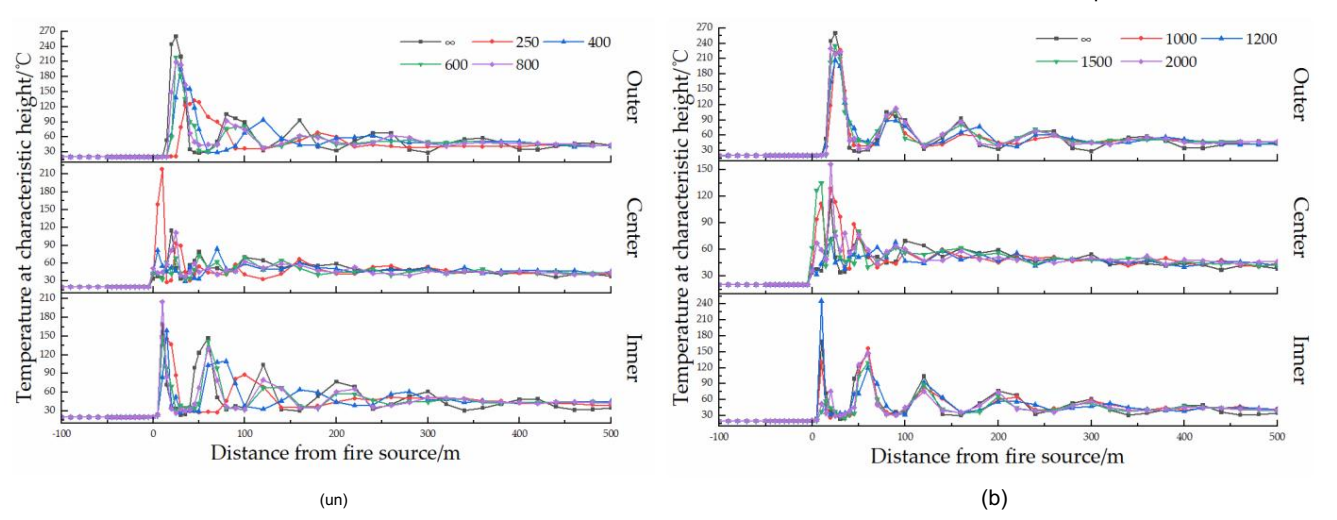
Dans les études précédentes, l'emplacement de la source d'incendie était principalement supposé être être sur la ligne médiane du tunnel, ce qui entraîne une symétrie horizontale et longitudinale distributions de température. Cependant, si l'on considère des scénarios réels, lorsqu'un véhicule prend feu dans un tunnel, il est plus probable que le véhicule source d'incendie soit positionné d'un côté du le tunnel

Appl. Sci. 2024, 14, x POUR EXAMEN

8 sur 18

PAR LES PAIRS La figure 5 montre la distribution longitudinale de la température à la hauteur caractéristique pour le groupe de vitesse critique à 360 s. Dans ce scénario, la hausse rapide de la température au sein la zone source de l'incendie est attribuée à la génération de flammes et de fumées à haute température. A 1500 m et 2000 m, la répartition des températures et les températures maximales sont relativement les mêmes. Ce pnenomène est représente par le pic initial sur la figure de repartition des températures. identiques à ceux observés dans le tunnel droit. du côte interieur du tunnel. Par la suite, propulse par une ventilation longitudinale, le Cependant, lorsque la vitesse de ventilation du tunnel est inférieure à la vitesse critique, la fumée à haute température se propage vers l'avant. Cependant, en raison de la courbure du La distribution de température gitudinale présente des variations distinctes, comme le montre la figure 6. Une fois le tunnel terminé, elle entre en collision avec la parig extérieure et rebondit sur celle-ci, ce qui entraîne une région de pic distincte sur la paroi extérieure. Dans de telles circonstances a la force motrice de la ventilation information de la collaboration de la collaboration de la collaboration de la collaboration de la ventilation longitudinale du tunnel. Neanmonins, la paroi incurvée exerce toujours une température de un certain effet en inhibiteur sur la propagation de la fumée. Cela se manifeste principalement par une variation constante de la température. Neanmonins, la paroi incurvée exerce toujours une température de un certain effet inhibiteur sur la propagation de la fumée. Cela se manifeste principalement par une variation constante de la température la ligne mediane du tunnel dans a ligne médiane du tunnel. La repartition de la température le long de la ligne mediane du tunnel dans a ligne médiane du tunnel en la la partieur du pic de température de la température le long de la ligne mediane du tunnel dans a ligne médiane du tunnel de la température

déclenchement. conditions, entraînant des variations dans les distributions de température ultérieures.



5. Figure 5. Variation de la température longitudinale à la hauteur caractéristique de la vitesse critique Figure groupe. (a) Comparaison de la température sur différents côtés du tunnel pour le groupe A. (b) Groupe de comparaison , (a) Comparaison de la température des différents côtés du tunnel pour le groupe A. (b) Comparaison de température des différents côtés du tunnel pour le groupe B. de température sur différents côtés du tunnel pour le groupe B.

Machine Translated by Google répartition de la température le long de la ligne médiane du tunnel dans différentes simulations sans différences significatives observées. La principale distinction entre les côtés intérieur et extérieur du tunnel réside dans la température maximale dans la zone centrale de la source d'incendie.

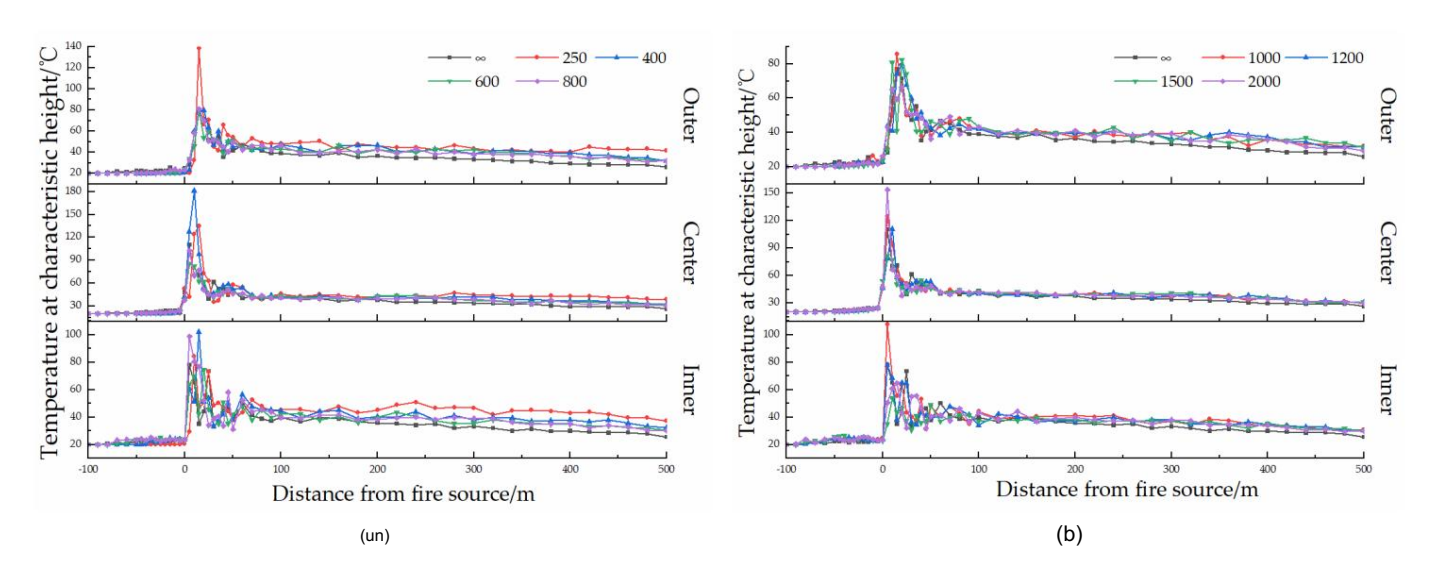
> Cependant, au-delà de cette zone centrale, la fumée entre dans une phase de propagation longitudinale, ur 18 unidimensionnelle

> Pour le groupe B (essais 12, 14, 16 et 18), la répartition longitudinale de la température sur le le côté intérieur, le côté extérieur et la ligne centrale du tunnel ressemblent beaucoup à ceux du tunnel droit (essai 2). Cependant, des disparités notables apparaissent en termes de valeurs de pointe de température entre le côté intérieur et le côté extérieur du tunnel à la distance correspondante du feu source. Les comparaisons numériques révèlent des différences significatives à la fois dans la température répartition et températures maximales entre le rayon de courbure du tunnel de 1000 m et 1200 m avec un tunnel droit. A l'inverse, lorsque le rayon de courbure du tunnel est fixé à 1 500 m et 2000 m, la répartition de la température et les températures maximales sont relativement les mêmes que

> Cependant, lorsque la vitesse de ventilation du tunnel est inférieure à la vitesse critique, la distribution longitudinale de la température présente des variations distinctes, comme le montre la figure 6. circonstances, la force motrice de la ventilation longitudinale pour les fumées à haute température à l'intérieur du tunnel devient insuffisant, ce qui entraîne sa répartition prédominante le long du

> ventilation longitudinale du tunnel. Néanmoins, le mur courbe exerce encore une certaine effet inhibiteur sur la propagation de la fumée. Cela se manifeste principalement par une température constante répartition le long de la ligne médiane du tunnel dans différentes simulations sans

différence Ses/atriativéese lla tentipétiatupe incompile de interes es la ôtés fetéricament évitaire du groupe de vites se critique. (a) resimparanisona tempa terminér anterna nauri deta diffrit entre cétéra ductuen na issource curroum cité. (b) benteum pl de comparaison



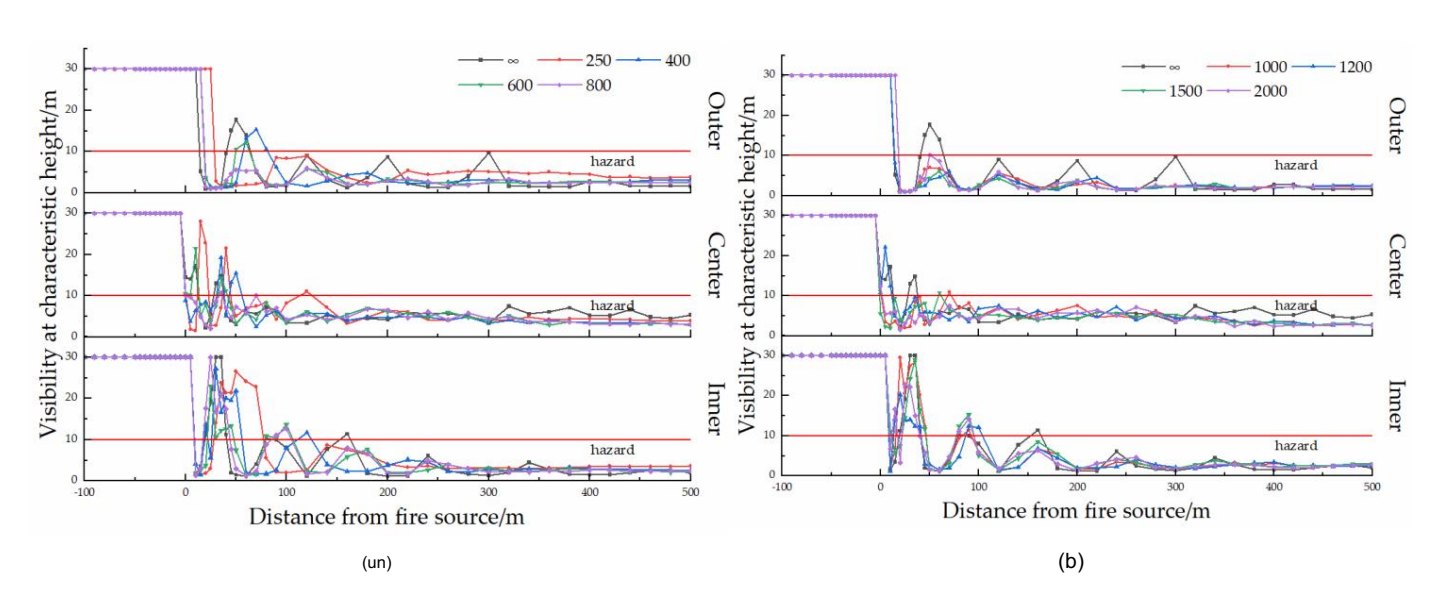
ceux observés dans le tunnel droit.

v Figure 6. Variation de l'empérature longitudinale à la hauteus raractérisiques de la vite an générale Figure 6. groupe. (a) Comparaison de la température sur différents côtés du tunnel pour le groupe A. (b) Groupe de comparaison . (a) Comparaison de la température des différents côtés du tunnel pour le groupe A. (b) Comparaison de température sur les différents côtés du tunnel pour le groupe B. de température sur les différents côtés du tunnel pour le groupe B.

3.2.2. Visibilité

La figure 7 montre la variation longitudinale de la visibilité du groupe de vitesse critique à la hauteur caractéristique à 360 s. Initialement, durant les premiers stades de l'incendie, de la fumée s'accumule principalement dans le plafond du tunnel en raison de la chaleur générée par la source d'incendie. Cette accumulation a un impact minime sur la visibilité à la hauteur caractéristique, car il

il n'y a pas de modifications significatives de la température ou de la concentration de la fumée. Cependant, comme le le feu progresse, la fumée se diffuse longitudinalement dans tout le tunnel. La distribution de la visibilité humaine correspond à la distribution longitudinale de la température et reflète zones alternées de fumée d'incendie provoquées par la fumée à haute température et les flammes entre les côtés intérieurs et extérieurs du tunnel.



(a) Comparaison de la visibilité des différents côtés du tunnel pour le groupe A. (b) Comparaison de la visibilité (a) Comparaison de la visibilité des différents côtés du tunnel pour le groupe A. (b) Comparaison de la visibilité sur différents côtés du tunnel pour le groupe B. sur différents côtés du tunnel pour le groupe B.

Le groupe B (tests 12, 14, 16 et 18) présente une tendance similaire dans la répartition de la visibilité par rapport à celle observée dans un tunnel droit (essai 2). La principale différence est que le la visibilité à 50 m du fover d'incendie du tunnel droit est restée dans la plage de sécurité. tandis que le groupe B est au sommet de la visibilité mais toujours dans la plage dangereuse. Pour groupe A (tests 4, 6, 8 et 10), la position maximale et la hauteur maximale de sa visibilité sont significativement différents de ceux du tunnel droit. Cependant, lorsque la distance du feu source dépasse 150 m, la visibilité est inférieure à 10 m dans toutes les simulations, ce qui signifie il ne reste aucune différence dans l'évacuation personnelle. Cependant, lorsque la ventilation du tunnel la vitesse est inférieure à la vitesse critique, comme le montre la figure 8, il existe une disparité significative dans la distribution longitudinale de la visibilité au sein du groupe de vitesse générale. Longitudinal la ventilation est insuffisante pour chasser la fumée à haute température dans le tunnel dans de telles conditions simulations. Au-delà d'une distance de 50 m du foyer d'incendie, la visibilité humaine pour toutes les simulations tombent dans la zone dangereuse. Une couche arrière de fumée notable se produit. Dans le groupe A, les variations de courbure du tunnel influencent grandement l'impact de la longueur de la couche arrière de fumée sur la visibilité humaine en amont de la source d'incendie. En raison de l'obstruction de la paroi latérale intérieure du tunnel, la température des fumées diminue plus rapidement que avec celui du côté extérieur, ce qui entraîne une diminution rapide de la visibilité à la caractéristique hauteur. Néanmoins, la visibilité humaine reste dans des limites de sécurité du côté extérieur du tunnel; cela reste également vrai pour le groupe B. Bien que les tests 16 et 18 présentent des résultats similaires modèles de répartition de la fumée et de la température comme ceux observés dans un tunnel droit au sein du groupe B, il existe encore des différences notables de visibilité en amont du foyer d'incendie et sur la ligne médiane.

Appl. Sci. 2024, 14, x POUR EXAMEN PAR LES PAIRS Appl. Sci. 2024, 14, 6339

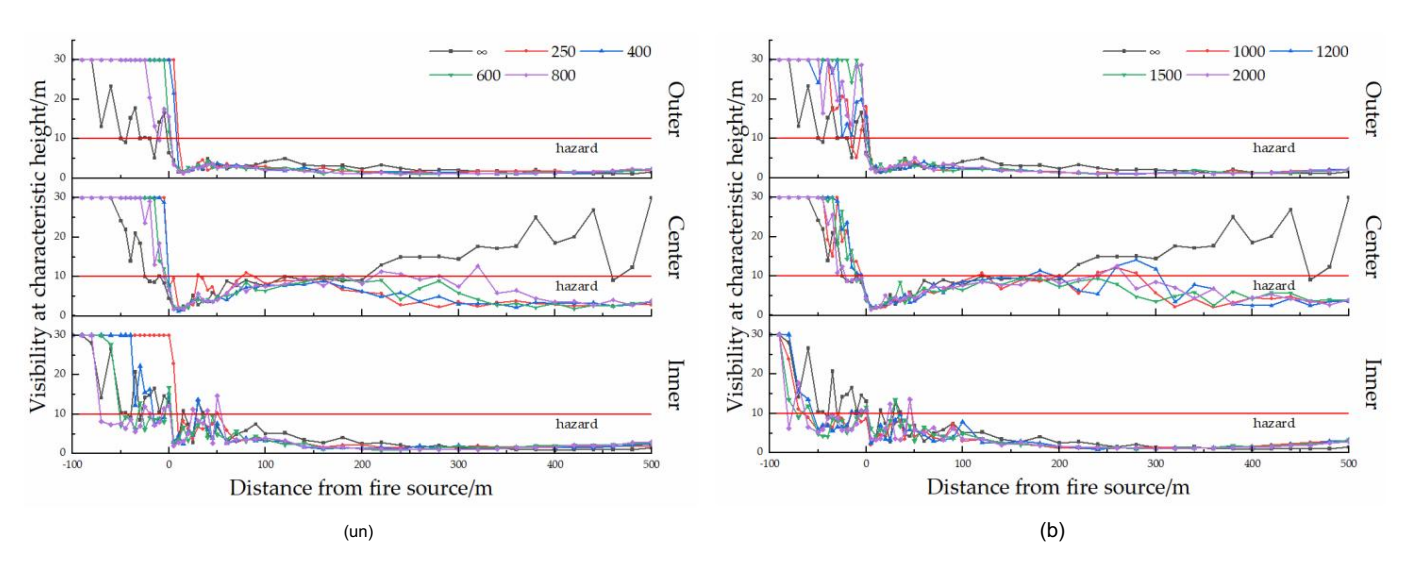
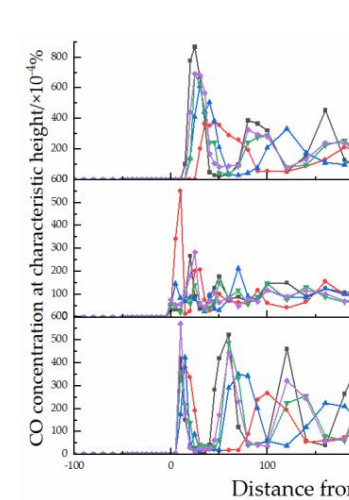


Figure 8: Variation de la visibilité montinuinale du la la la température sur les différents côtés du tunnel pour le groupe A: (b) Comparaison de température des différents côtés du tunnel pour le groupe B:

Appl. Sci. 2024, 14, x POUR EXAMEN PAR LES PAIF

3.2.3. Concentration de CO

La variation de la la va



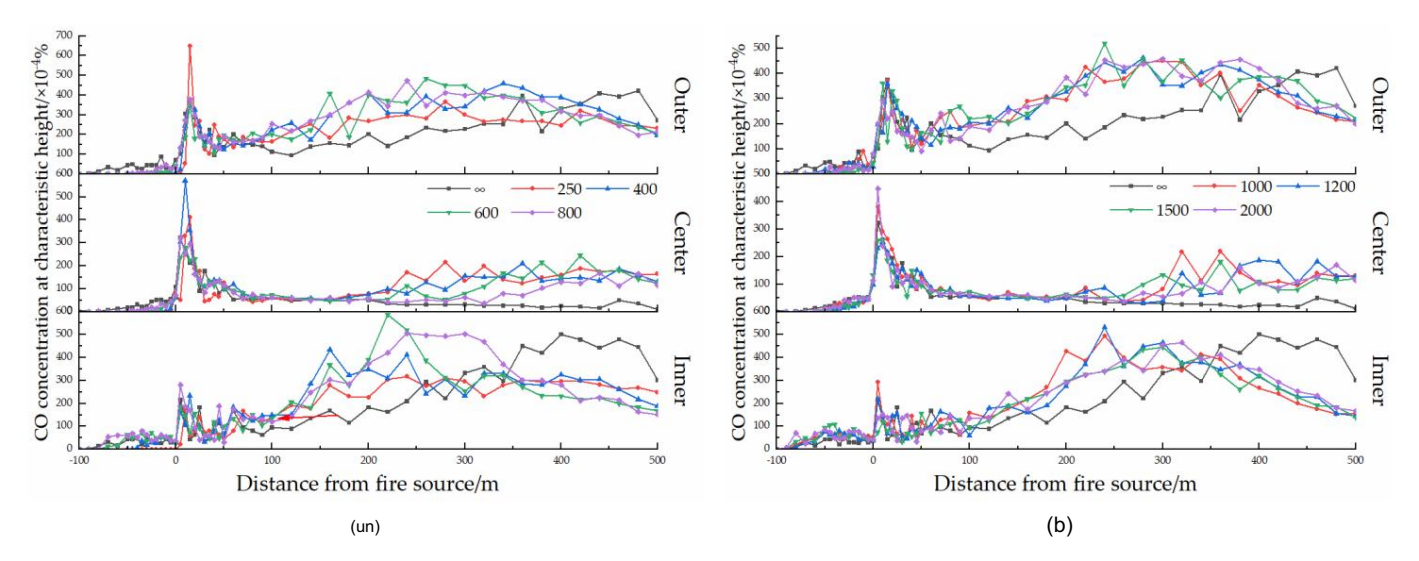
Comme le montre la figure 9, la ventilation longitudinale dans le groupe à vitesse critique supprime efficacement la formation de fumée. Cependant, en raison de la structure unique du tunnel, la fumée à haute température ne se disperse pas directement vers l'extérieur le long du tunnel mais se transporte plutôt entre les parois latérales. La diffusion longitudinale du CO est généralement cohérente avec les tendances de température et de visibilité. A l'exception de la zone centrale du foyer d'incendie, la concentration de CO reste inférieure aux niveaux dangereux. Néanmoins, une comparaison entre le groupe A et le groupe B révèle qu'à mesure que le rayon de courbure augmente, les deux corés du tunnel et sa ligne centrale subissent une diminution des concentrations de CO. De plus, la distribution longitudinale de la concentration de CO sur les côtés exténeurs de lintérieurs se rapproche progressivement de celle observée dans les tunnels droits. Cependant, des concentrations de CO plus élevées persistent sur la ligne médiane par rapport à celles trouvées dans les tunnels droits.

Cependant, lorsque la vitesse de ventilation longitudinale est inférieure à la vitesse critique, le schéma de distribution longitudinale de la concentration de CO dans les tunnels courbes différe considérablement de celui observé dans les tunnels droits, comme le montre la figure 10. La concentration de CO dans les tunnels courbes avec différents rayons de la courbure du côté extérieur et de la ligne médiane de (a) le tunnel en amont de la

source d'incendie reste cohérente avec celle des tunnels droits, indiquant un niveau bas. Figure 9. Variation de la concentration longitudinalle de CO à la hauteur caractéristique de la villesse critique. Figure 9. Variation de la lle de concentration longitudinalle de CO à la hauteur caractéristique de la villesse critique. Figure 9. Variation de la lle de concentration de con

Figure 9. Variation de la concentration longitudinale de CO à la hauteur caractéristique du groupe de vitesse critique. (a) Comparaison de la concentration de CO des différents côtés du tunnel pour le groupe A. (b) 11 sur 18

Comparaison de la concentration de CO sur différents côtés du tunnel pour le groupe B.



Tigwaniaho Natietie o de Arangentration de Paul de Arangentration de La Sur différent de la concentration de La sur différent de la concentration de La sur différent de la concentration de La sur différent softés du tunnel pour le groupe B. B.

3.3. Apartyse on provincion de la securitation de l

Cependant, lorsque la vitesse longitudinale de ventilation est inférieure à la vitesse critique, le le schéma de distribution longitudinale de la concentration de CO dans les tunnels courbes diffère considérablement de celle observée dans les tunnels droits, comme le montre la figure 10. La concentration de CO dans tunnels courbes avec différents rayons de courbure sur le côté extérieur et sur la ligne médiane de

observé dans les tunnels droits. Cependant, des concentrations plus élevées de CO persistent sur la ligne médiane

le tunnel en amont du foyer d'incendie reste cohérent avec celui des tunnels droits,

par rapport à ceux trouvés dans les tunnels droits.

indiquant un niveau bas. Cependant, en raison des influences structurelles sur les modèles de flux d'air, il Il y a une concentration de CO nettement plus élevée à l'intérieur des tunnels courbes. En termes de noyau Dans les zones proches de la source d'incendie, les concentrations de CO sont généralement comparables entre les zones courbes et tunnels droits. Néanmoins, dans un rayon de 100 à 350 m de la source d'incendie, les deux

les côtés intérieur et extérieur présentent des concentrations de CO plus élevées que celles trouvées dans tunnels droits. Cependant, les niveaux de concentration de CO restent similaires à ceux observés le long du la ligne médiane dans les tunnels droits. Au-delà de 350 m du foyer d'incendie, il existe une augmentation de la concentration de CO le long de la ligne médiane des tunnels courbes par rapport à celle observée dans des tunnels droits. La tendance à la baisse observée pour les concentrations de CO tant sur le

les côtés intérieurs et extérieurs les font progressivement devenir plus bas que ceux mesurés à l'intérieur tunnels droits.

Le tunnel défini dans les simulations comprend un plafond voûté, à travers lequel le CO est transporté avec les gaz de combustion. Par la suite, le CO remonte jusqu'au plafond du tunnel avant descendant vers les deux côtés. La répartition spatiale du CO est considérée comme influencée par le rayon de courbure du tunnel.

3.3. Analyse complète de l'effet d'altitude et de la ventilation longitudinale

Les modèles de distribution longitudinale de la température, de la visibilité et de la concentration de CO reflètent collectivement les caractéristiques de répartition de la fumée d'incendie dans le tunnel. Spécifiquement,

Appl. Sci. 2024, 14, 6339 12 sur 18

lorsque la vitesse de ventilation longitudinale dans le tunnel dépasse la vitesse critique, les flammes à haute température et la fumée générées par la source d'incendie décalée se propagent rapidement dans la direction du tunnel sous l'influence de la ventilation longitudinale. Cependant, cette propagation ne s'aligne pas parfaitement avec la direction longitudinale de la ventilation mais présente un certain écart. Par la suite, la fumée à haute température heurte et rebondit sur la paroi extérieure du tunnel. Ce phénomène se manifeste par le premier pic de température et de concentration de CO ainsi que par une zone de faible visibilité sur la face intérieure du tunnel. Ensuite, il y a un processus alterné de réflexion et de refroidissement entre les parois intérieure et extérieure pour la fumée à haute température. La principale distinction observée dans les tunnels de courbures différentes réside dans les positions et les valeurs des pics numériques. Néanmoins, par rapport aux tunnels droits, si la vitesse de ventilation longitudinale tombe en dessous de la vitesse critique dans un tunnel courbe, la température, la visibilité et la concentration de CO présentent des tendances similaires en aval de 0 m à 100 m par rapport à celles émises par la source d'incendie. La température, la visibilité et la concentration de CO diminuent avec l'augmentation de la distance par rapport à ladite source. Cependant, la région en amont connaît des différences significatives en raison de la couche arrière de fumée causée par les effets de courbure du tunnel. De plus, la courbure du tunnel contribue de manière significative à l'augmentation de la concentration de CO dans les régions situées entre 100 et 350 m en aval du foyer d'incendie.

- 3.4. Impact sur l'évacuation personnelle
- 3.4.1. Impact sur le temps de sortie sécurisé disponible

Sur la base de la distribution de la température, de la visibilité et de la concentration de CO, le temps de sortie en toute sécurité disponible (ASET) a été déterminé lorsqu'un facteur atteignait un niveau dangereux. Dans le cas d'un incendie dans un tunnel, la sécurité des personnes est principalement menacée par les trois facteurs suivants : l'augmentation de la température dans la zone source de l'incendie, la diminution de la visibilité due à la diffusion de la fumée et la dispersion de gaz toxiques. Ces trois facteurs se combinent progressivement pour former une zone dangereuse. Une analyse comparative révèle que la température est le principal facteur de risque contribuant au désastre dans la zone centrale d'un incendie de tunnel. À environ 120 s, les températures atteignent des niveaux dangereux dans la zone centrale. Lorsqu'un incendie se déclare dans un tunnel routier, la vitesse longitudinale du vent serait accélérée au-delà de la vitesse critique. Par conséquent, l'analyse suivante est basée sur les résultats du groupe de vitesse critique.

Comme indiqué ci-dessus, lorsqu'un incendie survient dans un tunnel courbe, la répartition de la fumée à haute température sur les côtés intérieur et extérieur du tunnel présente une certaine différence. La figure 11 montre les différences entre l'ASET à l'intérieur et à l'extérieur du tunnel. De gauche à droite et de haut en bas, les rayons de courbure correspondants de chaque tunnel sont 250 m, 400 m, 600 m, 1000 m, 1 200 m, 1 500 m et 2 000 m.

Comme le montre la figure 11, quel que soit le rayon de courbure, le côté intérieur du tunnel dispose d'un temps de sortie en toute sécurité plus long que le côté extérieur dans la zone centrale de l' incendie et à une distance de 150 m de la source de l'incendie. Dans une distance de 75 à 150 m de la source d'incendie, comme mentionné précédemment, lorsque la fumée à haute température frappe la paroi extérieure du tunnel et se reflète vers la paroi intérieure, elle donne naissance à une zone faible localisée de fumée à haute température à travers des passages successifs. reflets. Cependant, il est important de noter que la faible région de distribution de température près de la zone centrale de la source d'incendie, comme illustré dans la section 3.2.1 lorsque la fumée à haute température frappe le côté opposé du tunnel, continuera à se transformer en zone dangereuse. gamme de visibilité humaine à un stade précoce.

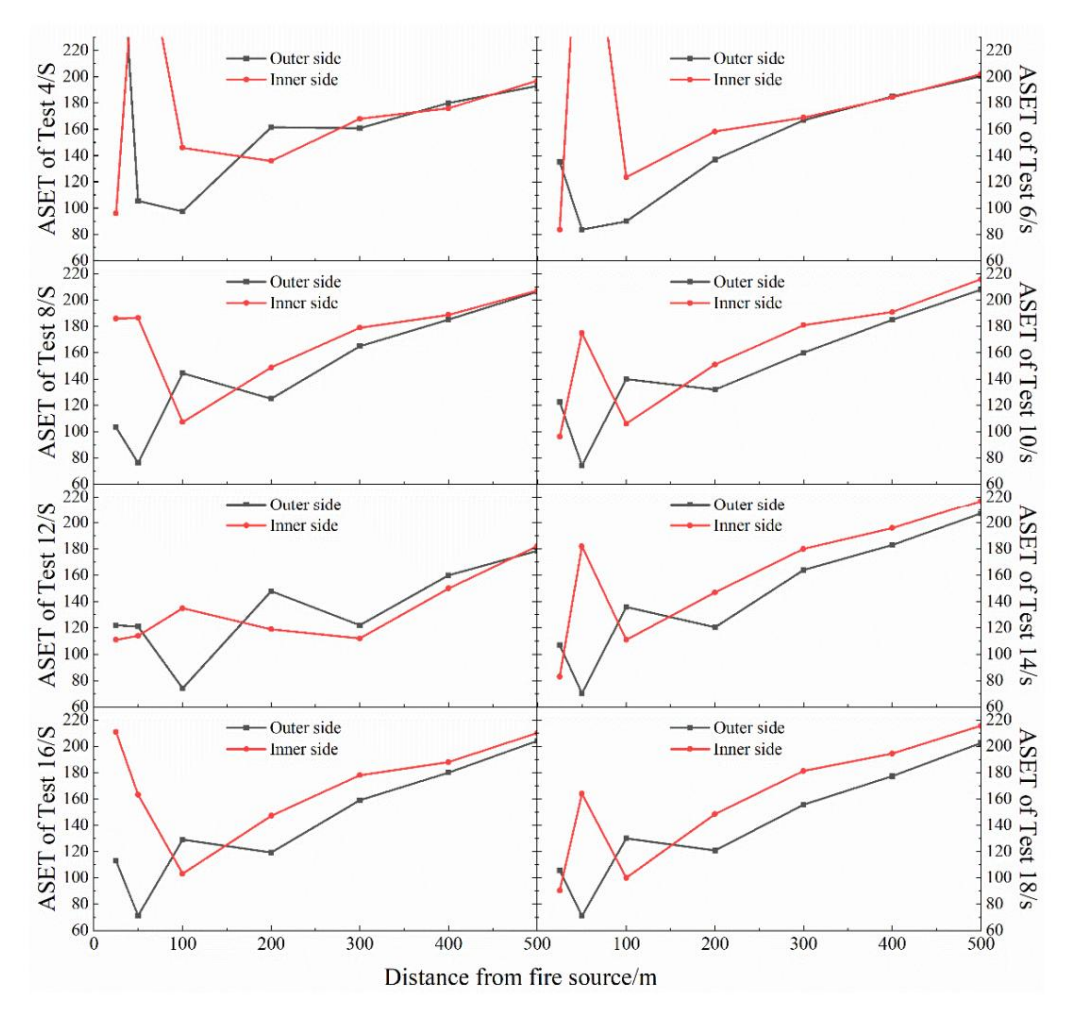


Figure 11. ASET de tunnels avec différents rayons de courbure à différentes distances de la source d'incendie. source.
3.4.2. Position d'une galerie pour les passants

3.4.2. Position d'une galerie pour les tunnels courbes, passent, il est recommandé de positionner stratégiquement une galerie pour les personnes qui passent du côté intérieur de sur la base des résultats ci-dessus, lors de la conception des voies d'évacuation personnelles pour les tunnels courbes, afin de maximiser le temps de sortie en toute sécurité disponible.

nels, il est recommandé de positionner stratégiquement une galerie pour les personnes passant du côté intérieur dy tunnel afin de maximiser but quips de sortie en toute sécurité disponible.

Les investigations et analyses existantes suggèrent que la réponse à un incendie peut générer 3.4.3. La position de la galerie pour les personnes passant sera généralement classée en trois étapes principales comme suit : détection d'incendie, confirmation de d'un incendie et des actions d'evacuation suggèrer que la réponse à un incendie peut déclencher l'apparition securitaire de toutes les personnes, 9 fotéralementuâtes les satuations de la détaction de la confirmation "අවසාන්ව්වය,"වය,ටල්පාල්ම අවස්වෙන්ම, අවස්වෙන්ම, අවස්ව අවස් ezonaticulleceana lessituations elangerevarsa il estimaria tit dictabliculo creace comit a conventa qui re les PONTULAR DESPONAR QUE DESSENS AFEU VANA LES ENCIPIENTA DATES SECTION DE LA PROPERTA DEL PROPERTA DE LA PROPERTA DEL PROPERTA DE LA PROPERTA DEL PROPERTA zones de la source d'incendie. La distance maximale autorisée doit être définie lorsque le dis-RSET est distance permettant aux personnes d'évacuer en toute sécurité dans le délai d'évacuation sécuritaire (RSET) où Td est l'heure de l'alarme ; Tpre est l'heure précédant le déplacement pour l'évacuation personnelle ; et Tt est

le temps d'évacuation personnel.

Les détecteurs de fumée utilisés dans l'ingénierie actuelle peuvent détecter des incendies jusqu'à 100 kW. Le feu eure de l'alarme est passification personant le déprés agent pour l'évacuation personant le déprés agent pour l'évacuation personant le déprés agent pour l'évacuation personant le déprés agent de l'alarme est raissurée précédant le déprés agent pour l'évacuation personant le déprés agent de l'alarme est raissurée précédant le déprés agent de l'alarme est raissurée peuvent détecter des incendies jusqu'à 100 kW. Le feu eure de l'alarme est raissurée peuvent détecter des incendies jusqu'à 100 kW. Le feu eure de l'alarme est raissurée peuvent détecter des incendies jusqu'à 100 kW. Le feu eure de l'alarme est raissurée précédant le déprés agent de l'alarme est raissurée produit de l'alarme est raissurée précédant le déprés agent de l'alarme est raissurée peuvent de l'ala où est l'heure de fonction du t est le temps d'évacuation personnel. La loi de développement des incendies au stade initial est la suivante :

Les détecteurs de fumée utilisés dans l'ingénierie actuelle peuvent détecter des incendies jusqu'à 100 kW. Le l'heure de début de l'alarme est calculée en fonction du et modèle feu feu dans cette recherche. Typiquement, le (4) La loi de développement des incendies au stade initial est la suivante :

Appl. Sci. 2024, 14, 6339 14 sur 18

où t est l'heure à laquelle l'incendie s'est produit ; Qf est HRR, qui est défini sur 100 kW dans le calcul de l'heure de l'alarme ; et α est le coefficient de croissance du feu, fixé à 0,187 kW/s2 dans cette étude. Par conséquent, l'heure d'alarme du système de détection d'incendie peut être déterminée comme suit :

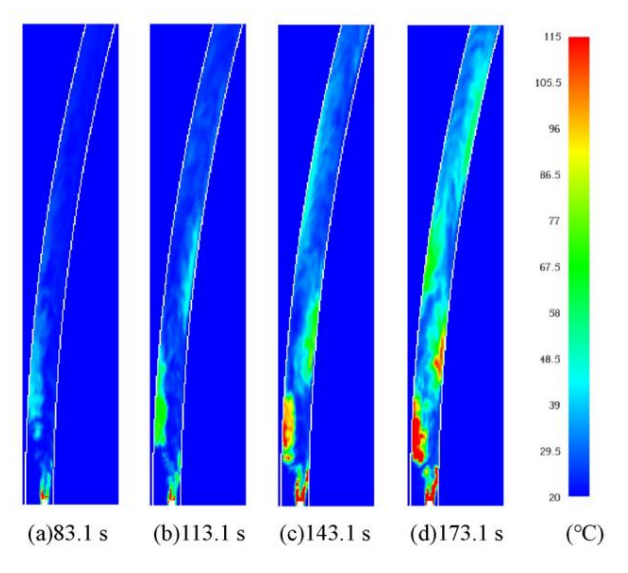
Td = carré Qf
$$/\alpha$$
 = carré(100/0,187) \approx 23,1 s (5)

L'intervalle de temps entre la réception de l'alarme incendie et le déclenchement de l'évacuation Les mesures, connues sous le nom de temps de pré-action ou temps de réponse à l'évacuation personnelle, sont cruciales pour urgences incendie. La détermination du temps de pré-action dépend principalement de facteurs tels que type de bâtiment et caractéristiques associées à la sécurité des occupants. Les recherches existantes les données [39-42] montrent que le temps préalable au déplacement pour l'évacuation personnelle varie de 30 s à 210 s. Dans cette étude, un temps de pré-action de 90 s a été observé.

À l'heure actuelle, aucune étude n'a indiqué une quelconque influence du rayon de courbure sur vitesse d'évacuation ou leurs choix dans un tunnel courbe. Par conséquent, l'évacuation personnelle le temps Tt est supposé cohérent entre les tunnels courbes et droits. Ce problème n'est pas discuté plus en détail dans cet article.

La figure 12 montre la répartition de la température dans le tunnel avec un rayon de courbure de 400 m à moins de 200 m du foyer d'incendie. De gauche à droite, les répartitions de température sont à 83,1 s, 113,1 s, 143,1 s et 173,1 s. Sur la base de l'heure d'alarme réglée de 23,1 s et de la

Appl. Sci. 2024, 14, x POUR EXAMEN PAR LES PÂIRS temps de pré-déplacement pour une évacuation personnelle de 90 s, les personnes commenceront à évacuer à 113,1 s, et la répartition de la température dans le tunnel à ce moment est représentée sur la figure 12b.



निष्ठमारा विश्वास मिल्ला है। निर्देश मिल्ला के प्राप्त के प्राप्त

À ce moment-là, comme indiqué précédemment, la fumée à haute température atteint la paroi extérieure du la Disfritere fois fou tunnel qui mène à la zone verte du côté extérieur. Le vert

zone signifie gue l'autemérature dans cette zene approche une souvient pas différences que de la cone dincerde de la cone de la cone dincerde de la cone de la cone de la cone dincerde de la cone de la cone

l'étape d'épandage longitudinal unidimensionnelle [46]. Au cours de la phase de développement de l'incendie, la fumée à haute température est apparu à la fumée à haute température est apparu à la fumée à haute température genérée directement par la source d'incendie subit des collisions repêtées 143.1 s. La présence d'une deuxième zone à haute température à l'intérieur du tunnel rend le sions entre les parois laterales intérieures et exterieures du tunnel. Par consequent, ce processus est inadapté à l'évacuation, ce qui nécessite de réorienter la voie d'évacuation. Il en resulte plusieurs zones à naute température entre les côtés intérieur et extérieur. De plus, le long du côté extérieur du tunnel. CO, qui a un impact significatif sur l'évacuation des personnes en raison de la combustion incomplète. Cependant, la faisabilité d'un tel mouvement de va-et-vient entre l'intérieur et l'intérieur et extérieur et extérieur et extérieur, car les

ton de la source d'incendre, présente des parents et experiences piégées dans un incendre, ca les côtés extérieurs du tunnel sont compromis pour les personnes piégées dans un incendre, il se propage avec de la fumée à haute température. Cependant, la diffusion ultérieure des fumées ressemble à un incendre. Par conséquent, dans le cas d'incendres survenant dans des tunnels courbes, il est recommandé de bles que dans un tunnel droit où la visibilité est moins influencée par la température de la fumée, les personnes situées au cœur de la source d'incendre évacuent rapidement le long de la ligne médiane de aux caractéristiques de transmission mais plus affectées par la concentration de la fumée. Après le début de la diffusion longitudinale unidimensionnelle de la fumée, il n'y a aucune variation perceptible de température

ou de visibilité à différents endroits du tunnel. Néanmoins, la répartition du CO ne correspond pas entièrement à la diffusion de la fumée. Dans la fumée à haute température, des zones distinctes de pics de concentration alternés de CO persistent à la fois à l'intérieur et à l'extérieur.

Appl. Sci. 2024, 14, 6339 15 sur 18

le tunnel. Une fois qu'ils ont dépassé une distance de 100 m du foyer d'incendie, ils doivent poursuivre leur évacuation le long de la paroi intérieure du tunnel et sortir par une galerie réservée aux passants.

Parallèlement, la comparaison présentée dans la figure 12 suggère également que si le temps préalable au déplacement pour l'évacuation personnelle peut être réduit à 60 s, les recherches existantes sur la vitesse d'évacuation personnelle [21, 43-45] indiquent que les individus seront capables d'évacuer le lieu d'évacuation. zone centrale de la source d'incendie avant la formation d'une zone à haute température. Au-delà de la zone centrale de la source d'incendie, le principal indice de danger d'évacuation personnelle passe de la température à la visibilité.

4. Discussion

Cette recherche sur la diffusion de la fumée dans les incendies de tunnels routiers courbes a révélé des modèles distincts de caractéristiques d'incendie à hauteur des yeux humains. Comparé aux tunnels droits, le mouvement de la fumée dans les tunnels courbes présente des schémas différents. La propagation de la fumée d'incendie peut être classée selon les deux étapes suivantes : la phase de développement du feu et la phase de propagation longitudinale unidimensionnelle [46]. Au cours de la phase de développement de l'incendie, la fumée à haute température générée directement par la source de l'incendie subit des collisions répétées entre les parois latérales intérieures et extérieures du tunnel. Par conséquent, ce processus entraîne la création de plusieurs zones à haute température entre les côtés intérieur et extérieur. De plus, le CO, qui a un impact significatif sur l'évacuation des personnes en raison de la combustion incomplète de la source d'incendie, présente également des pics alternés entre les côtés intérieur et extérieur lorsqu'il se propage avec la fumée à haute température. Cependant, la diffusion ultérieure de la fumée ressemble à celle d'un tunnel droit où la visibilité est moins influencée par la température de la fumée en raison des caractéristiques de transmission mais plus affectée par la concentration de la fumée. Après le début de la diffusion longitudinale unidimensionnelle de la fumée, il n'y a aucune variation perceptible de température ou de visibilité à différents endroits du tunnel. Néanmoins, la répartition du CO ne correspond pas entièrement à la diffusion de la fumée. Dans la fumée à haute température, des zones distinctes de pics de concentration alternés de CO persistent sur les parois latérales intérieures et extérieures pendant la phase de propagation unidimensionnelle.

Les résultats sur la distribution de la température concordent bien avec les études précédentes [4,14,18]. Cependant, il faut souligner que nous avons également pris en compte deux indicateurs critiques, à savoir la concentration de CO et l'acuité visuelle humaine, lorsque nous avons comparé nos résultats à ceux d' études plus anciennes. De plus, le choix du rayon de courbure du tunnel n'était pas limité à une valeur minimale de 2 500 m [16]. Sur la base d'une ingénierie pratique, la vitesse longitudinale de ventilation a été introduite dans les simulations pour prendre en compte le modèle de propagation de la fumée dans le scénario d'incendie réel. Les résultats ont dépassé la portée des mesures de contrôle de la fumée pour englober des considérations relatives à la sélection de stratégies d'évacuation personnelle.

Les limites de notre étude doivent être reconnues lors de l'interprétation de ces résultats. Tout d'abord, il est important de souligner que les résultats de distribution de température ont été validés par suffisamment d'expériences [11,15], garantissant l'exactitude de nos résultats. La répartition de la visibilité humaine a également été rigoureusement justifiée. Néanmoins, une vérification expérimentale du schéma de répartition de la concentration de CO dans les tunnels routiers courbes reste nécessaire. Dans les simulations numériques actuelles, le taux de dégagement de chaleur de la source d'incendie est systématiquement supposé être celui d'un incendie ultra-rapide. Cependant, le taux de dégagement de chaleur de la source d'incendie présente une tendance perceptible à l'augmentation progressive. De plus, notre sélection de simulations présente des limites. Comme aucun tunnel complètement plat n'est insensible à l'altitude en ingénierie réelle, notre étude reste limitée. Les variations de densité de l'air, d'humidité et de teneur en oxygène à l'emplacement du tunnel auront également un impact sur les résultats. Malgré son caractère préliminaire, notre étude indique clairement l'influence des différents rayons de courbure des tunnels sur la dispersion des fumées d'incendie et l'évacuation des personnes.

Une orientation future importante consiste à explorer les effets combinés de multiples facteurs d'influence. Par exemple, étudier l'impact des effets d'altitude et des effets de cheminée sur le modèle de diffusion de la fumée d'incendie dans un tunnel incurvé peut aider à élucider leur potentiel à améliorer ou à supprimer la distribution de la fumée. Un autre avenir important

Appl. Sci. 2024, 14, 6339 16 sur 18

La direction est une section de courbe de transition entre la zone droite et la zone courbe. L' influence du rayon de courbure en constante évolution sur la répartition de la fumée mérite également une étude plus approfondie.

Une nouvelle stratégie d'évacuation personnelle pour les tunnels routiers courbes peut être dérivée de nos découvertes. Dans les tunnels droits, l'évacuation s'effectue le long des trottoirs des deux côtés du tunnel menant à une galerie pour les passants. Cependant, dans les tunnels courbes, afin de minimiser les dommages et d'assurer une évacuation sécuritaire, nous recommandons que les personnes proches de la source d'incendie évacuent d'abord le long de la ligne centrale du tunnel sur une distance spécifique avant de passer aux passages pour piétons latéraux.

5. Conclusions

Pour étudier les caractéristiques de la température, de la concentration de CO et de la visibilité de l'œil humain à des hauteurs caractéristiques, une série de simulations numériques ont été réalisées en tenant compte du rayon de courbure et de la vitesse de ventilation longitudinale. L'impact sur l'évacuation des personnes a été conçu en fonction des résultats. Les principales conclusions sont les suivantes :

Sous l'influence de la ventilation longitudinale, la fumée d'incendie dans les tunnels courbes ne se disperse pas directement vers la sortie du tunnel. Au lieu de cela, la fumée se reflète entre les parois latérales intérieures et extérieures du tunnel. Par conséquent, de multiples zones à haute température se forment des deux côtés du tunnel à proximité de la source de l'incendie. L'emplacement des zones à haute température change avec les variations du rayon de courbure du tunnel, ce qui entraîne différentes caractéristiques de répartition de la fumée dans le tunnel.

Lorsque le rayon de courbure du tunnel est inférieur à 1 000 m, il existe une disparité plus prononcée des caractéristiques de répartition des fumées entre les tunnels courbes et droits. À mesure que le rayon de courbure du tunnel dépasse 1 000 m, la répartition des fumées dans les tunnels courbes s'aligne progressivement sur celle des tunnels droits.

En raison des caractéristiques particulières de répartition de la fumée dans les tunnels courbes, une comparaison des emplacements des sources d'incendie révèle que lorsque le véhicule source d'incendie est positionné dans la voie intérieure du tunnel, il présente un risque plus élevé d'évacuation des personnes. Par conséquent, grâce à une analyse et une comparaison de la température, de la visibilité et de la répartition de la concentration de CO sur les parois latérales intérieures et extérieures sur différents rayons de courbure des courbes du tunnel, il est déterminé que la galerie pour les personnes qui passent doit être située du côté intérieur du tunnel. tunnel.

Pour l'évacuation des personnes dans la zone centrale du foyer d'incendie, compte tenu de l'impact des caractéristiques de répartition des fumées à haute température résultant de la ventilation longitudinale dans les tunnels courbes, nous recommandons d'effectuer dans un premier temps les évacuations le long de la ligne centrale du tunnel. Par la suite, les personnes doivent être guidées le long de la voie piétonne intérieure vers la galerie réservée aux personnes décédées à l'écart de la zone centrale du foyer d'incendie.

Contributions des auteurs : Conceptualisation, YC et ZL ; méthodologie, YC; logiciel, YC; validation, YC ; analyse formelle, YC ; enquête, ZL; ressources, ZL; conservation des données, YC ; rédaction – préparation du projet original, YC ; rédaction – révision et édition, ZL ; visualisation, YC ; supervision, ZL; administration de projet, ZL; acquisition de financement, ZL Tous les auteurs ont lu et accepté la version publiée du manuscrit.

Financement : Cette recherche a été financée par la Fondation nationale des sciences naturelles de Chine, numéro de subvention 41461016 et numéro de subvention 41761015.

Déclaration du comité d'examen institutionnel : sans objet.

Déclaration de consentement éclairé : sans objet.

Déclaration de disponibilité des données : Les contributions originales présentées dans l'étude sont incluses dans l'article, des demandes complémentaires peuvent être adressées à l'auteur correspondant.

Conflits d'intérêts : Les auteurs ne déclarent aucun conflit d'intérêts.

Appl. Sci. 2024, 14, 6339 17 sur 18

Les références

1. Du, T.; Lèvre.; Wang, Y.; Xue, X. Décroissance longitudinale de la température de la fumée et de la vitesse du front dans les incendies de tunnels. Chine Saf. Sci. J. 2023, 33, 140-145. [Référence croisée]

- 2. Jiang, X.-P.; Chen, X.-G.; Guo, K. Étude sur la vitesse critique de l'incendie d'un tunnel de désenfumage à un point latéral. Chine Saf. Sci. J. 2021, 31, 105-111. [Référence croisée]
- 3. Zhao, Q.; Li, J.-M.; Xie, X.; Liu, W. Étude numérique sur la diffusion et le contrôle de la fumée dans les tunnels souterrains incurvés urbains. J. Phys. Conf. Ser. 2023, 2445, 012003. [Réf. croisée]
- 4. Kashef, A.; Sabre, HH; Gao, L. Optimisation des stratégies de ventilation d'urgence dans un tunnel routier. Technologie incendie. 2016, 47, 1019-1046. [Référence croisée]
- Wang, F. Recherche sur les paramètres clés de la ventilation opérationnelle du tunnel routier courbe. doctorat Thèse, Jiaotong du Sud-Ouest Université. Chengdu. Chine. 2010. [CrossRef]
- 6. Wang, F.; Dong, G.-H.; Wang, M. Étude sur la vitesse critique de l'air pour le contrôle des fumées d'incendie dans un tunnel incurvé. Mod. Tunn. Technologie. 2015, 52, 84-89. [Référence croisée]
- 7. Wang, F.; Wang, M.; Carvel, R.; Wang, Y. Étude numérique sur le mouvement et le contrôle de la fumée d'incendie dans les tunnels routiers courbes. Tunn. Sous-qr. Technologie spatiale. 2017, 67, 1–7. [Référence croisée]
- 8. Caliendo, C.; Ciambelli, P.; De Guglielmo, ML; Méo, MG; Russo, P. Simulation numérique de différents scénarios d'incendie de poids lourds dans des tunnels routiers bidirectionnels courbes et évaluation de la sécurité. Tunn. Sous-gr. Technologie spatiale. 2012, 3133, 50. [Référence croisée]
- 9. Wu, C.; Lui, J.; Ni, T. Recherche sur le mouvement de la fumée dans les incendies de tunnels curvilignes à petit rayon. Scie au feu. Technologie. 2014, 33, 37-40.
- 10. Wang, F.; Wang, M.-N. Une étude informatique sur les effets de la localisation d'un incendie sur le mouvement de la fumée dans un tunnel routier. Tunn. Sous-gr. Technologie spatiale. 2016, 51, 405-413. [Référence croisée]
- 11. Zhong, MH; Shi, CL-L.; Lui, L.; Shi, J.; Liu, C.; Tian, X. Développement de fumée dans des incendies de tunnels longs et larges en pente à grande échelle sous ventilation naturelle. Appl. Thermie. Ing. 2016, 108, 857-865. [Référence croisée]
- 12. Zhang, S.; Yang, H.; Yao, Y.; Zhu, K.; Zhou, Y.; Shi, L.; Cheng, X. Enquête numérique sur la longueur de la couche arrière et la vitesse critique dans les tunnels de métro courbes avec différents rayons de braquage. Technologie incendie. 2017, 53, 1765-1793. [Référence croisée]
- 13. Pan, R.-L.; Zhu, G.-Q.; Liang, Z.-H.; Zhang, G.; Liu, H.; Zhou, X. Étude expérimentale sur la forme du feu et la température maximale sous l'axe du plafond dans un tunnel utilitaire sous l'effet d'une paroi latérale incurvée. Tunn. Sous-gr. Technologie spatiale. 2020, 99, 103304.
- 14. Lu, K.-X.; Xia, K.-H.; Shi, C.; Yang, M.; Wang, J.; Ding, Y. Enquête sur l'effet de courbure du tunnel sur le plafond

 Température des incendies de tunnels : une simulation numérique. Technologie incendie. 2021, 57, 2839-2858. [Référence croisée]
- 15. Xu, Z.-S.; Zhou, DM; Tao, H.; Zhang, X.; Hu, W. Enquête sur la vitesse critique dans un tunnel courbe sous les effets de différents emplacements d'incendie et rayons de braquage.

 Tunn. Sous-ar. Technologie spatiale. 2022. 126. 104553. [Réf. croisée]
- 16. Muhasilovic, M.; Deville, MO Influence de la courbure du tunnel sur la propagation des conséquences d' un incendie accidentel à grande échelle Une enquête CFD. Turc. J. Ing. Environ. Sci. 2013. 31. 391-402. [Référence croisée]
- 17. Lu, F. Recherche par simulation sur le contrôle de la fumée d'incendie dans un tunnel routier incurvé. doctorat Thèse, Institut de technologie de Harbin, Harbin, Chine, 2017. [CrossRef]
- 18. Zhao, W.-F.; Lv, S.-J.; Xu, H. Caractéristiques du mouvement de la fumée du feu dans un tunnel à petit rayon de courbure. Scie au feu. Technologie. 2019, 38, 77-81. [Référence croiséel
- 19. Lin, L.; Jian, G.; Xiong, X.-P. Analyse numérique du flux de fumée dans un incendie de tunnel à courbure unique. J. Nanchang Hangkong Univ. (Nat. Sci. Ed.) 2019, 33, 66-67, 88. [CrossRef]
- 20. Liu, Z.; Chen, C.; Liu, M.; Wang, S.; Liu, Y. Simulations numériques sur l'effet extincteur du système de brouillard d'eau avec différents
 Paramètres de ventilation longitudinale dans les incendies de tunnels courbes. Av. Civ. Ing. 2021, 5, 1–13. [Référence croisée]
- 21. JTG/T D70/2-02-2014; Lignes directrices pour la conception de la ventilation du tunnel routier. People's Communications Press : Pékin, Chine, 2014.
- 22. NFPA 502; Norme pour les tunnels routiers, les ponts et autres autoroutes à accès limité. Association nationale de protection contre les incendies :

 Ouincy MA États-Unis 2020
- 23. McGrattan, K.; McDermott, R.; Floyd, J.; Hostikka, S.; Forney, G.; Baum, H. Modélisation informatique de la dynamique des fluides du feu. Int.

 J. Informatique. Fluide Dyna. 2012, 26, 349-361. [Référence croisée]
- 24. McGrattan, K.; Hostikka, S.; McDermott, R.; Floyd, J.; Weinschenk, C.; Overholt, K. Guide de l'utilisateur du simulateur Fire Dynamics, 6e éd.; Publication spéciale (NIST SP) 1019; Institut national des normes et de la technologie: Gaithersburg, MD, États-Unis, 2013. [CrossRef]
- 25. Fan, C.; Chen, J.; Zhou, Y.; Liu, X. Effets de la localisation de l'incendie sur la capacité d'évacuation des fumées des puits de ventilation naturelle en milieu urbain tunnels. Mater du Feu. 2018, 42, 974-984. [Référence croisée]
- 26. McGrattan, KB; McDermott, RJ; Weinschenk, CG; Forney, GP Guide de référence technique du simulateur de dynamique du feu Volume 1 : Modèle mathématique ; Publication spéciale du NIST; Institut national des normes et de la technologie : Gaithersburg, MD, États-Unis, 2013.
- 27. Ji, J.; Gao, ZH; Ventilateur, CG; Sun, JH Large Eddy Simulation de l'effet de cheminée sur l'effet d'épuisement naturel de la fumée sur une route urbaine incendies de tunnels. Int. J. Chaleur Masse Tran. 2013, 66, 531-542. [Référence croisée]
- 28. Zhang, X.-L.; Lin, Y.-J.; Shi, C.; Zhang, J. Simulation numérique de la température maximale et de la longueur de la couche arrière de fumée dans un tunnel incliné sous ventilation naturelle. Tunn. Sous-gr. Technologie spatiale. 2021, 107, 103661. [Réf. croisée]

Appl. Sci. 2024, 14, 6339 18 sur 18

- 29. Bai, Y.; Zhang, X.-F.; Yan, X.; Zeng, Y. Étude sur le contrôle de la vitesse sous le feu dans un tunnel routier bidirectionnel à haute altitude Menton. J. Undergr. Ingénieur spatial. 2019, 15, 269-276.
- 30. Association mondiale de la Route (AIPCR). Le Manuel des Tunnels Autoroutiers ; Association mondiale de la Route : Pairs, France, 2016.
- 31. Zheng, B.; Croc, L.; Guo, R. Analyse de la loi de distribution longitudinale de la température et des facteurs d'influence de la haute altitude Tunnel sous Ventilation Unidirectionnelle. Mod. Tunn. Technologie. 2021, 58, 349-358. [Référence croisée]
- 32. Liu, B.; Mao, J.; Xi, Y.; Hu, J. Effets de l'altitude sur la vitesse de déplacement de la fumée et la répartition longitudinale de la température dans le tunnel les feux. Tunn. Sous-gr. Technologie spatiale. 2021, 112, 103850. [Réf. croisée]
- 33. JTG D70/2-2014; Spécifications pour la conception des tunnels routiers. Section 2 Ingénierie du trafic et installations affiliées. Chine Communications Press: Pékin, Chine, 2014.
- 34. Jafari, S.; Farhanieh, B.; Afshin, H. Enquête numérique sur la vitesse critique dans les tunnels courbes : étude paramétrique et établissement mise en place d'un nouveau modèle. Tunn. Sous-qr. Technologie spatiale. 2023, 135, 105021. [Réf. croisée]
- 35. Jafari, S.; Farhanieh, B.; Afshin, H. Effets des paramètres d'incendie sur la vitesse critique dans les tunnels courbes : une étude numérique et Analyse de la surface de réponse. Technologie incendie. 2024, 60, 1769-1802. [Référence croisée]
- 36. Pan, R.-L.; Wang, Y.-N.; Yue, S.-Y.; Ran, CH; Cheng, HH; Zhong, M.-H. Etude expérimentale grandeur nature sur les caractéristiques du champ d'écoulement longitudinal des fumées dans les tunnels ferroviaires à grande vitesse. Université J. Tsinghua. (Sci. Technol.) 2024. 1-12. [Référence croisée]
- 37. Administration nationale des chemins de fer de la République populaire de Chine. Code de conception en matière d'ingénierie d'évacuation pour la prévention des catastrophes et le sauvetage des tunnels ferroviaires ; Administration nationale des chemins de fer de la République populaire de Chine : Pékin, Chine, 2017.
- 38. Leslie, J.: Millenson, J. Principes d'analyse comportementale : Prentice Hall : Hoboken, New Jersey, États-Unis, 1967,
- 39. Comité Technique AIPCR Route. Contrôle des incendies et de la fumée dans les tunnels routiers ; Comité Technique AIPCR Route : La Défense, France, 1999.
- 40. Association nationale de protection contre les incendies. Code national d'alarme et de signalisation d'incendie NFPA 72, édition 2019 ; Association nationale de protection contre les incendies : Boston, MA, États-Unis, 2019.
- 41. Caliendo, C.; Ciambelli, P.; De Guglielmo, ML; Méo, MG; Russo, P. Simulation de l'évacuation des personnes en cas d'incendie dans un tunnel routier. Procedia : Social et comportemental. Sciences 2012, 53, 178-188. [Référence croisée]
- 42. Wang, G.-H.; Yan, Z.-G. Etude de simulation du temps d'évacuation lors d'un passage piéton long et raide dans un tunnel routier. Mod. Tunn. Technologie. 2019, s2, 132-137. [Référence croisée]
- 43. GB 1589-2016; Limites de dimensions, de charge par essieu et de masses pour les véhicules à moteur, les remorques et les véhicules combinés. Administration générale du contrôle de la qualité, de l'inspection et de la quarantaine de la République populaire de Chine : Pékin, Chine, 2016.
- 44. Wang, X.; Qu, J.-R.; Xia, Y.; Wang, L.; Zhen, Y. Étude sur l'évacuation et le sauvetage du personnel d'incendie dans un tunnel routier bidirectionnel à un seul trou . J. Undergr. Ingénieur spatial. 2020, 16, 944-954.
- 45. Zhang, T.-R.; Li, W.; Yan, Z.-G. Recherche sur la performance de la stratégie longitudinale de désenfumage et l'évacuation du personnel en Tunnel routier. Mod. Tunn. Technologie. 2020, 57, 651-661. [Référence croisée]
- 46. Jones, WW État de l'art en matière de modélisation de zones d'incendies. La Vereinigung zur Forderung desDeutschen Brandschutzes e. V. (VFDB).

 Dans Actes du 9e Séminaire international sur la protection contre les incendies, Méthodes d'ingénierie pour la sécurité incendie, Munich, Allemagne, 25-26 mai 2001 ; pp. 89-126.

Avis de non-responsabilité/Note de l'éditeur : Les déclarations, opinions et données contenues dans toutes les publications sont uniquement celles du ou des auteurs et contributeurs individuels et non de MDPI et/ou du ou des éditeurs. MDPI et/ou le(s) éditeur(s) déclinent toute responsabilité pour tout préjudice corporel ou matériel résultant des idées, méthodes, instructions ou produits mentionnés dans le contenu.